

ГАЗОЧУВСТВИТЕЛЬНЫЕ 2D-НАНОМАТЕРИАЛЫ СОСТАВОВ $x\text{ZrO}_2 - (1-x)\text{Y}_2\text{O}_3$, ПОЛУЧЕННЫЕ ЗОЛЬ-ГЕЛЬ МЕТОДОМ

А.С. Мокрушин*, Е.П. Симоненко, Н.П. Симоненко,

В.Г. Севастьянов, Н.Т. Кузнецов

Институт общей и неорганической химии им. Н.С. Курнакова РАН, Москва, Россия

*e-mail: artyom.nano@gmail.com

Использование в качестве объёмных твердых электролитов диоксида циркония, стабилизированного оксидом иттрия, для детектирования кислорода берёт свое начало ещё с 70-х годов 20 века [1]. Сенсоры на кислород применяются во многих областях науки и техники, главной же нишой, в которой с большим успехом применяется диоксид циркония, стабилизированный оксидом иттрия, является автомобильная промышленность, где этот материал выступает в качестве объемного твердого электролита при детектировании кислорода при высоких температурах 600-800 °C в выхлопных газах для эффективного использования топлива в двигателе. Высокие температуры детектирования, которые достигаются помимо разогрева горячими выхлопными газами путем подачи напряжения на нагревательный элемент газового сенсора, не только энергетически невыгодны, но и значительно ограничивают область применения таких датчиков. Использование тонких наноструктурированных плёнок диоксида циркония, стабилизированного оксидом иттрия, позволяет снизить рабочие температуры детектирования [2-3], а также решить проблему миниатюризации датчиков на кислород. Таким образом, целью данной работы было получение тонких наноструктурированных плёнок $\text{ZrO}_2\text{-Y}_2\text{O}_3$ с разным содержанием оксида иттрия в системе золь-гель методом и изучение их газочувствительных свойств.

Тонкие плёнки заданного состава формировались на керамических подложках сенсорных элементов из оксида алюминия с нанесенными платиновыми встречно-штыревыми электродами и микронагревателем. Растворы алcoxкоацетилацетонатов циркония и иттрия наносили методом dip-coating (скорость извлечения подложки 1 мм/сек). Кристаллизация всех оксидных плёнок осуществлялась при 750 °C в течение 1 ч на воздухе. После термообработки на сенсорный элемент наносились и кристаллизовались еще 2 слоя (общее количество нанесенных слоев равно 3). Составы полученных плёнок представлены в таблице 1.

По данным РФА (рентгеновский дифрактометр D8 Advance, Bruker) на фоне рефлексов оксида алюминия и платины (подложка) для плёнок с содержанием Y_2O_3 5-20 % наблюдается рефлекс при $2\Theta \sim 30,4^\circ$, характеризующий тетрагональную фазу диоксида циркония. При увеличении содержания оксида иттрия в системе рефлексы, характеризующие Zr- либо Y- содержащие фазы, не удалось зафиксировать, что может быть связано с

образованием уширенных рефлексов высокодисперсной фазы (что подтверждается данными СЭМ, см. таблицу 1), и малой толщиной пленок.

Таблица 1. Свойства электролитных 2D-наноматериалов.

Состав плёнки	D_{cp} , нм, СЭМ	R_{O_2}/R_{Ar} , 3 слоя		R плёнок при 450 °C, MΩ		
		400 °C	450 °C	1 слой	2 слоя	3 слоя
0.05Y ₂ O ₃ — 0.95ZrO ₂	19.4 ± 2.9	1,03	1,03	65	48	12
0.1Y ₂ O ₃ — 0.9ZrO ₂	18.8 ± 1.9	1	1,07	160	37	5
0.15Y ₂ O ₃ — 0.85ZrO ₂	17.1 ± 2.3	1,04	1,04	230	100	34
0.2Y ₂ O ₃ — 0.8ZrO ₂	16.9 ± 1.8	1,04	1,04	200	90	25
0.33Y ₂ O ₃ — 0.67ZrO ₂	13.9 ± 1.6	1,04	1,04	120	90	65
0.4Y ₂ O ₃ — 0.6ZrO ₂	15.7 ± 2.1	1,04	1,04	220	250	200
0.5Y ₂ O ₃ — 0.5ZrO ₂	13.2 ± 1.4	1,08	1,08	115	110	22

Микроструктура и дисперсность полученных электролитных 2D-наноматериалов изучались на сканирующем электронном микроскопе Carl Zeiss NVision 40. При увеличении содержания оксида иттрия в системе наблюдается уменьшение среднего размера частиц (за исключением состава 0,33Y₂O₃ — 0,64 ZrO₂) с 19,4 ± 2,9 до 13,2 ± 1,4 нм (таблица 1).

Электрическое сопротивление оксидных плёнок измеряли с помощью цифрового мультиметра Fluke 8846A (6.5 Digit Precision Multimeter). Газочувствительные свойства оксидных плёнок изучались на специальной установке. Газовую среду создавали в специальной кварцевой ячейке с помощью двух газовых контроллеров Bronkhorst с максимальной пропускной способностью 200 и 100 мл/мин. Отклик R_{O_2}/R_{Ar} на кислород (где R_{O_2} – сопротивление оксидной плёнки в токе кислорода при заданной концентрации, R_{Ar} – в токе аргона) записывался при рабочих температурах 25-450 °C, в качестве базовой линии использовалось сопротивление в среде высокочистого аргона (99,99995%). Нагрев сенсорного элемента осуществлялся с помощью платинового микронагревателя на обратной стороне подложки, датчики предварительно откалиброваны.

После нанесения 1 слоя плёнки xZrO₂ — (1-x)Y₂O₃ сенсорные элементы всех составов показали отсутствие откликов на кислород, а также другие газоаналиты (1% H₂, 1% CH₄, 1% CO₂, 200 ppm CO, 100 ppm NO₂) в диапазоне рабочих температур 25-450 °C. После нанесения и кристаллизации 2 слоя оксидных плёнок наблюдается незначительное снижение сопротивления по сравнению с однослойными образцами. Тем не менее, в результате измерения газочувствительных свойств удалось зафиксировать отклик на 20% кислород: R_{O_2}/R_{Ar} для образцов всех составов при рабочих температурах 350-450 °C равен 1,04 (за исключением самых электропроводящих составов 0,1Y₂O₃ — 0,9ZrO₂ и 0,5Y₂O₃ — 0,5ZrO₂, для них $R_{O_2}/R_{Ar}=1,07$). После нанесения 3 слоя наблюдается значительное снижение R оксидных плёнок по сравнению с однослойными датчиками (табл. 1). Наиболее электропроводящими оказались плёнки составов

$0,1\text{Y}_2\text{O}_3 - 0,9\text{ZrO}_2$ и $0,5\text{Y}_2\text{O}_3 - 0,5\text{ZrO}_2$. Зависимость R от содержания оксида иттрия в системе при рабочих температурах 350, 400 и 450 °C представлена на рисунке 2.

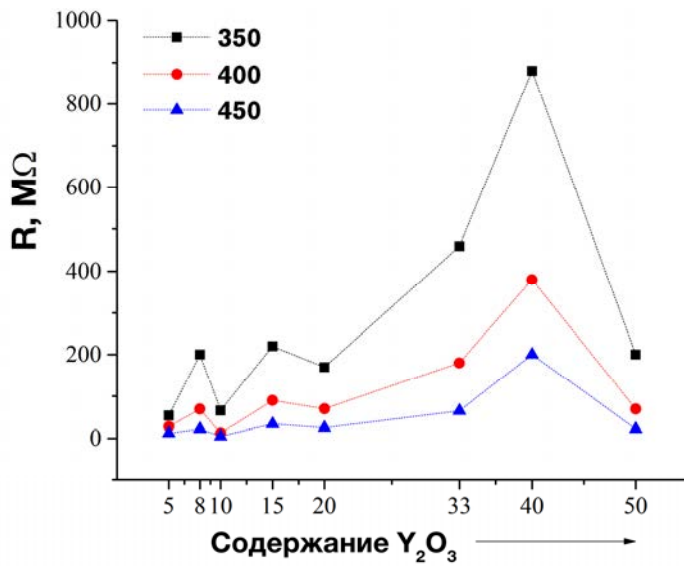


Рисунок 2. Зависимость сопротивления оксидных плёнок $x\text{ZrO}_2 - (1-x)\text{Y}_2\text{O}_3$ от содержания Y_2O_3 в системе при рабочих температурах 350, 400 и 450 °C.

После нанесения и кристаллизации 3 слоя отклик $R_{\text{O}2}/R_{\text{Ar}}$ на 20% O_2 не увеличился и остался равным 1,04 (для составов $0,1\text{Y}_2\text{O}_3 - 0,9\text{ZrO}_2$ и $0,5\text{Y}_2\text{O}_3 - 0,5\text{ZrO}_2$ $R_{\text{O}2}/R_{\text{Ar}}=1,07$). Отклики на 20% O_2 плёнок составов $0,2\text{Y}_2\text{O}_3 - 0,8\text{ZrO}_2$ и $0,33\text{Y}_2\text{O}_3 - 0,64\text{ZrO}_2$ при рабочих температурах 450 и 350 °C соответственно представлены на рисунке 3(a-b). При увеличении количества оксида иттрия в системе (начиная с 33% Y_2O_3), как и для двухслойных покрытий, удалось зафиксировать отклик на 1% водород при рабочих температурах 350, 400 и 450 °C. Несмотря на то, что в экспериментах концентрация водорода меньше, чем концентрация кислорода, значение отклика $R_{\text{B}}/R_{\text{H}2}$ (где R_{B} – сопротивление оксидной плёнки в токе воздуха, $R_{\text{H}2}$ – в токе 1% H_2) оказалось выше (1.1, 1.07 и 1.14 для плёнок состава $0,5\text{Y}_2\text{O}_3 - 0,5\text{ZrO}_2$, $0,4\text{Y}_2\text{O}_3 - 0,6\text{ZrO}_2$ и $0,33\text{Y}_2\text{O}_3 - 0,64\text{ZrO}_2$, соответственно). Отклики на 1% H_2 плёнок составов $0,33\text{Y}_2\text{O}_3 - 0,64\text{ZrO}_2$ и $0,5\text{Y}_2\text{O}_3 - 0,5\text{ZrO}_2$ при рабочих температурах 350 и 450°C представлены на рисунке 3(c-d).

Таким образом, золь-гель методом получены тонкие наноструктурированные плёнки составов $x\text{ZrO}_2 - (1-x)\text{Y}_2\text{O}_3$, которые имеют отклик на 20% кислород при рабочих температурах 350-450 °C (что ниже аналогов описанных в литературе). Впервые обнаружено, что составы $x\text{ZrO}_2 - (1-x)\text{Y}_2\text{O}_3$ с высоким содержанием Y_2O_3 ($\geq 33\%$ Y_2O_3) имеют отклик на 1% водород, причем в литературе отсутствуют данные о чувствительности исследуемых оксидных систем на водород. Исследована температурная зависимость сопротивления оксидных плёнок разного состава. Изучено также влияние содержания оксида иттрия в системе на электрическое сопротивление.

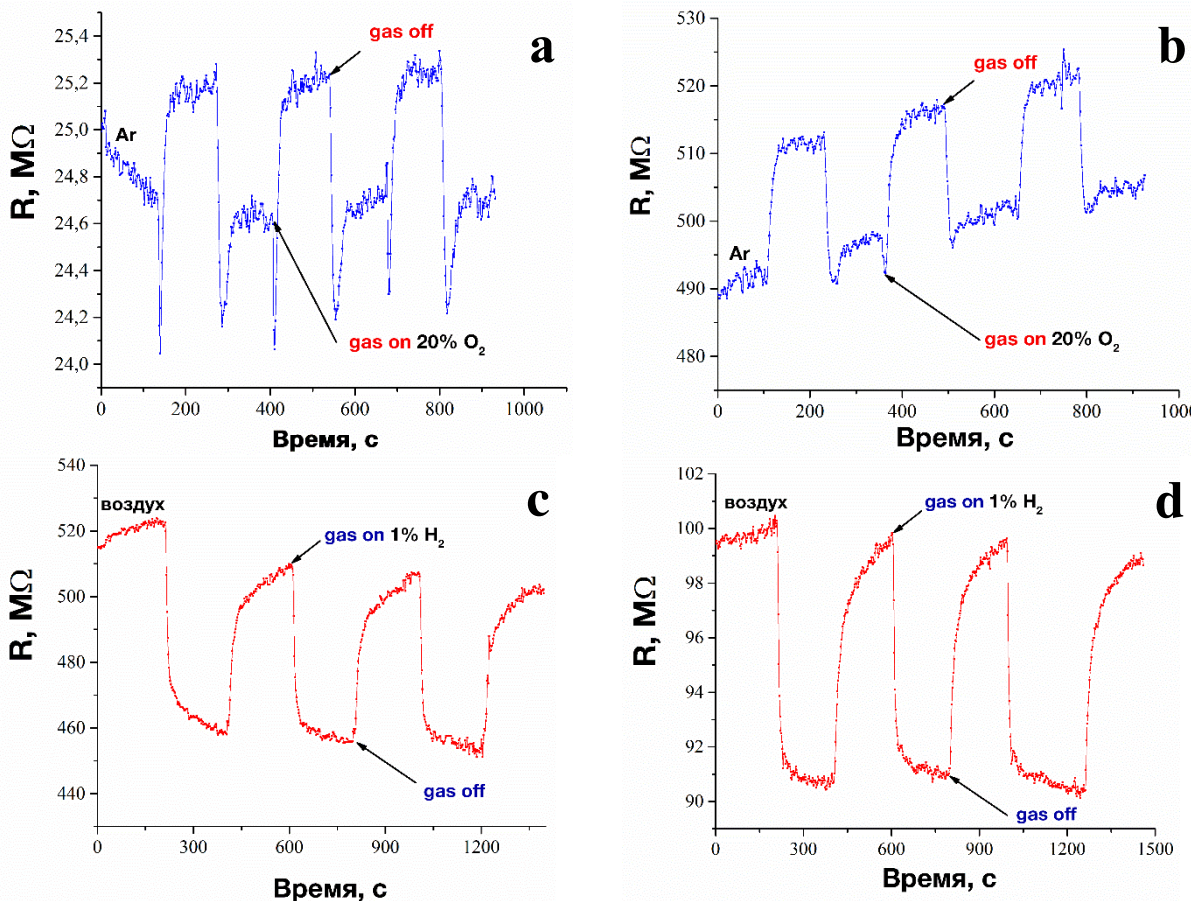


Рисунок 3. Отклики на 20% O₂ плёнок состава 0,2Y₂O₃ – 0,8ZrO₂ при рабочей T=450°C (а) и состава 0,33Y₂O₃ – 0,64ZrO₂ при рабочей T=350°C (б), а также отклики на 1% H₂ плёнок состава 0,33Y₂O₃ – 0,64ZrO₂ при рабочей T=350°C (в) и состава 0,5Y₂O₃ – 0,5ZrO₂ при рабочей T=450°C (г).

Разработанный подход показал свою применимость в получении тонких наноструктурированных электропроводящих оксидных покрытий заданного состава, способных детектировать кислород и водород при относительно низких рабочих температурах.

Работа выполнена при поддержке Российского Фонда Фундаментальных Исследований (грант № 15-29-01213 офи_м).

Список литературы

1. Ramamoorthy R., Dutta P.K., Akbar S.A. // J. Mater. Sci., 2003, 38, 4271-4282.
2. Simonenko N.P., Simonenko E.P., Sevastyanov V.G., Kuznetsov N.T. // Russ. J. Inorg. Chem., 2015, 60(7), 795–803.
3. Simonenko N.P., Simonenko E.P., Mokrushin A.S., Popov V.S. et al. // Russ. J. Inorg. Chem., 2017, 62(6), 695–701.